

# МЕХАНІЗМИ ЗАСЕЛЕННЯ ОДНОКВАЗІЧАСТИНКОВОГО СТАНУ $11/2^-$ ЯДРА $^{109}\text{Pd}$ В РЕАКЦІЯХ ( $\gamma$ , n)

З.М. Біган, Д.М. Симочко

Інститут електронної фізики НАН України,  
вул. Університетська, 21, Ужгород, 88017  
e-mail: nuclear@email.uz.ua

В енергетичному інтервалі 8–18 MeV проведено дослідження заселення ізомерного стану  $11/2^-$  ядра  $^{109}\text{Pd}$  залежно від енергії гамма-квантів гальмівного випромінювання. Визначено ізомерні відношення виходів реакції  $^{110}\text{Pd}(\gamma, n)^{109\text{m},\text{g}}\text{Pd}$ . В досліджуваній області вперше отримано перерізи збудження метастабільного стану ядра  $^{109}\text{Pd}$  в ( $\gamma$ , n) реакціях. Отримані результати порівнюються з розрахунками в рамках каскадно-випарювальної моделі.

## Вступ

Фотоядерні реакції з утворенням дочірнього ядра в окремих виділених станах є одним із основних джерел нової інформації про механізми цих ядерних реакцій. Розподіл за енергіями і за спінами збуджених станів кінцевого ядра визначається енергією, кількістю і сортом вилітаючих частинок, а також спіном і енергією компаунд-ядра, які при фотопоглинанні в області E1-гігантського резонансу відомі практично однозначно. Зняття збудження залишкового ядра відбувається каскадом гамма-квантів.

При наявності в ядрі низькорозташованих ізомерних станів відносне заселення метастабільного і основного рівнів ядра буде визначатися розподілом за спінами вищерозташованих рівнів і мультипольною структурою гамма-каскаду.

Метою даної роботи є вивчення механізмів реакції  $^{110}\text{Pd}(\gamma, n)^{109\text{m},\text{g}}\text{Pd}$  шляхом вимірювання ізомерних відношень та визначення перерізів цієї реакції в області 8–18 MeV і порівняння їх з результатами модельних розрахунків. Для досліджуваного ядра  $^{109}\text{Pd}$  одноквазічастинковий стан з  $J^\pi=11/2^-$  є ізомерним і визначається підоболонкою  $1h_{11/2}$ . Основний стан ха-

рактеризується підоболонкою  $2d_{5/2}$ . До теперішнього часу систематичних досліджень збудження ізомерного стану ядра  $^{109}\text{Pd}$  залежно від енергії гамма-квантів не проводилося [1]. Є дані експериментів лише для кількох енергетичних точок на вищих енергіях [2, 3].

## Методика експерименту

Мішенні опромінювалися на пучку гальмівних гамма-квантів мікротрона М-30 Інституту електронної фізики НАН України. Пучок прискорених електронів виводився із прискорювача і падав на гальмівну tantalову мішень товщиною 1 мм. Для контролю електронного пучка використовувався монітор вторинної емісії. Величина магнітного поля контролювалася методом ядерного магнітного резонансу, чим і визначалася точність вимірювання енергії прискорених електронів. Досліджувані мішенні являли собою металічні диски паладію природного ізотопного складу (вміст  $^{110}\text{Pd}$  – 11.7%) діаметром 20 мм і вагою 1,5 г. Ядро  $^{109}\text{Pd}$  є нестабільним. Ідентифікація збудження ізомерного стану  $J_m^\pi=11/2^-$  з періодом піврозпаду  $T_{1/2}^m=4.69$  хв здійснювалася за

гамма-лінією 188 кеВ. Розпад основного стану  $J_g^\pi = 5/2^+$  з періодом  $T_{1/2}^g = 13.7$  год ідентифікувався за лінією 88 кеВ. Спектроскопічні характеристики досліджуваної мішенні бралися з робіт [4, 5].

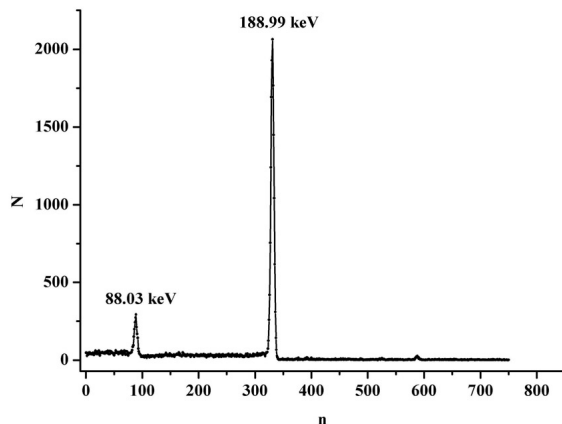


Рис. 1. Ділянка апаратурного спектра від розпаду ядра  $^{109}\text{Pd}$ .

Вимірювання наведеної активності здійснювалося за допомогою гаммаспектрометра на базі напівпровідникового детектора ДГДК-100 з роздільною здат-

ністю 3.5 кеВ для гамма-лінії кобальту-60 – 1.173 МеВ. Дослідження залежності ізомерного відношення виходів, тобто відношення виходу  $Y_m$  заселення ізомерного стану до виходу заселення основного стану  $Y_g$ , від енергії гамма-квантів проводилося з кроком  $\Delta E=0.5$  МеВ в діапазоні 8–18 МеВ. В області порогу реакції  $(\gamma, n)^{109m,g}\text{Pd}$  вимірювання проводилися з кроком  $\Delta E=0.2$  МеВ. На рис. 1 наведено ділянку апаратурного спектра від розпаду ядра  $^{109}\text{Pd}$  ( $n$  – номер канала,  $N$  – кількість відліків у каналі). Енергія опромінення склада  $E_{\gamma max}=12$  МеВ, час опромінення – 10 хв, час охолодження – 2 хв, час вимірювання – 10 хв.

Оскільки основний стан ядра  $^{109}\text{Pd}$  нестабільний, то для реакції  $^{110}\text{Pd}(\gamma, n)^{109m,g}\text{Pd}$  безпосередньо з експерименту визначалося ізомерне відношення виходів –  $d=Y_m/Y_g$ . Час опромінення мішенні  $t_{opr}$  складав 10 хв. Процедура вимірювань розбивалася на два етапи. Після двохвилинного охолодження, проводилося вимірювання наведеної активності ( $t_{vim}=10$  хв). Визначення ізомерного відношення здійснювалося за формулою [6]:

$$d = Y_m/Y_g = (\lambda_g - \lambda_m) \left\{ \left[ c \frac{N_g}{N_m} \cdot \frac{\varphi_m}{\varphi_g} (\lambda_g - \lambda_m) - p \lambda_g \right] \frac{\lambda_g}{\lambda_m} \frac{f_m(t)}{f_g(t)} \right\}^{-1} + p \lambda_m, \quad (1)$$

де  $\varphi_{m,g} = \xi_{m,g} \cdot k_{m,g} \cdot \alpha_{m,g}$ ;  $\xi_{m,g}$  – фотоефективності реєстрації гамма-ліній розпаду ізомерного і основного станів,  $k_{m,g}$  – коефіцієнти самопоглинання ліній мішенні,  $\alpha_{m,g}$  – інтенсивності ліній;  $N_g$ ,  $N_m$  – число імпульсів у фотопіку основного і ізомерного станів,  $f_{m,g}$  – часова функція:  $f_{m,g}=[1-\exp(-\lambda_{m,g} t_{opr})]\exp(-\lambda_{m,g} t_{oxol}) \cdot [1-\exp(-\lambda_{m,g} t_{vim})]$ ,  $\lambda_{m,g}$  – постійні розпаду,  $p$  – коефіцієнт розгалуження,  $c=c_1 \cdot c_2$  – коефіцієнт, що враховує прорахунки і накладання імпульсів.

Оскільки період напіврозпаду ізомерного стану  $T_{1/2}^m$  на два порядки менший за

період напіврозпаду основного стану  $T_{1/2}^g$ , то, для досягнення більшої точності визначення ізомерного відношення, після десятихвилинного вимірювання мішень охолоджувалася ще 40 хв і проводилося довготривале (1–2 год) вимірювання розпаду основного стану. Цим досягалася більша статистична точність. В зв'язку з тим, що за час охолодження ізомерний стан практично повністю розпадався на основний ( $p=1$ ), то в цих вимірюваннях нами де facto вимірювався повний вихід  $(\gamma, n)$  реакції  $Y_n = Y_m + Y_g$ . В цьому випадку ізомерне відношення розраховувалося за формулою:

$$\eta = Y_m / Y_n = Y_m / (Y_m + Y_g) = 1/(1+1/d) = c \frac{N_m}{N_g} \cdot \frac{\lambda_m \cdot \varphi_g \cdot f_g}{\lambda_g \cdot \varphi_m \cdot f_m}. \quad (2)$$

І хоч статистична точність результатів одержаних за формулою (2) вища, обидва підходи дали практично співпадаючі результати.

### Обговорення результатів

Одержані експериментальні ізомерні відношення виходів  $\eta$  для реакції  $^{110}\text{Pd}(\gamma, n)^{109m,g}\text{Pd}$  наведено на рис. 2. Суцільною кривою на рис. 2 представлено результат апроксимації даних кривою Больцмана:

$$y = A + (B - A) / [1 + \exp \frac{E - E_0}{\Delta E_1}]. \quad (3)$$

Тут  $A$ ,  $B$ ,  $E_0$ ,  $\Delta E_1$  – параметри. Апроксимація здійснювалася методом найменших квадратів. Узгодження досягнуто при таких значеннях параметрів:  $A=0.0687 \pm 0.0014$ ,  $B=0.007 \pm 0.003$ ,  $E_0=13.012 \pm 0.146$  (МеВ),  $\Delta E_1=1.534 \pm 0.137$  (МеВ).

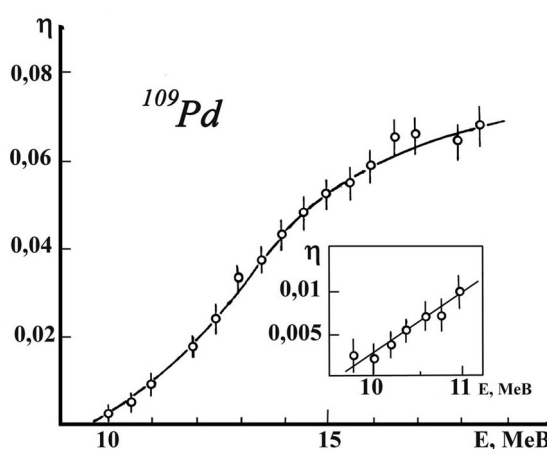


Рис. 2. Експериментальні ізомерні відношення для ядра  $^{109}\text{Pd}$

Експериментальний ефективний поріг реакції  $^{110}\text{Pd}(\gamma, n)^{109m}\text{Pd}$  становить  $9.6 \pm 0.15$  МеВ, що на 0.8 МеВ вище порогу  $(\gamma, n)$  реакції. З рисунка видно, що від

порогу реакції ізомерне відношення  $\eta$ , як функція енергії  $\eta=f(E_{\gamma max})$ , швидко зростає і вище 18 МеВ досягає насищення.

Розглядаючи схеми низькорозташованих рівнів ядра  $^{109}\text{Pd}$  [4], можна побачити, що першим станом, який інтенсивно розпадається на ізомерний рівень з  $J^\pi=11/2^-$  є рівень з енергією  $E=277,2$  кеВ і  $J^\pi=9/2^-$ . Однак, як показують розрахунки згідно оптичної моделі [7], нейтрони з необхідним для заселення цього рівня моментом  $l=3$  повинні мати енергію не меншу 0.7 МеВ. Імовірніше за все, як активаційні стани можуть служити рівні з енергією  $E=604,5$  кеВ і  $J^\pi=5/2^-$  та  $E=941,1$  кеВ і  $J^\pi=3/2^-$ . Перший з них за допомогою E2 переходів з імовірністю 2,6% (відносно основного переходу) заселяє рівень з  $E=287$  кеВ і  $J^\pi=9/2^-$ , другий з високою імовірністю через M1+E2 переходи – рівень з  $E=604,5$  к矣. Проведений аналіз величини порогу  $(\gamma, n)^m$  реакції для ядра  $^{109}\text{Pd}$  узгоджується зі статистичним механізмом заселення ізомерного стану.

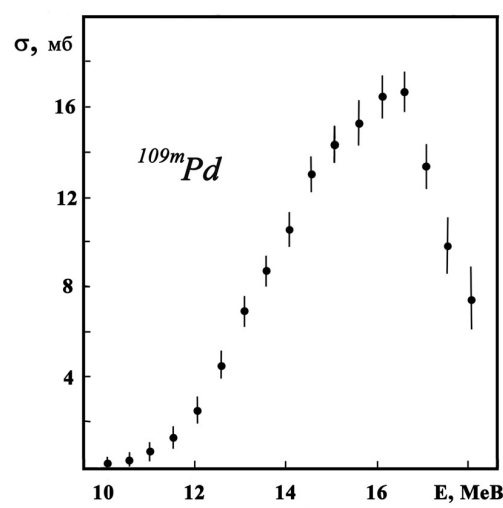


Рис. 3. Переріз збудження метастабільного стану ядра  $^{109}\text{Pd}$

Використовуючи виміряне нами експериментальне ізомерне відношення  $\eta$  і

повний переріз  $(\gamma, n)$  реакції для паладію [8], отримано переріз реакції  $^{110}\text{Pd}(\gamma, n)^{109m}\text{Pd}$  за методикою [9]. Одержаній переріз наведений на рис. 3. Це одногорба крива з максимумом  $16.6 \pm 1.2$  мб при енергії 16.5 MeV. Порівняння одержаного перерізу з повним перерізом  $(\gamma, n)$  реакції показує, що його максимум зсунутий в бік високих енергій на  $\sim 0.6$  MeV.

Одержаній переріз  $(\gamma, n)^m$  реакції дозволяє оцінити експериментальні ізомерні відношення перерізів  $r = \sigma_m/\sigma_n$ . Визначення  $r$  проводилося в околі максимуму кривої  $\sigma_n(E)$ , тобто там, де відносна похибка відношення мінімальна, хоч і складає  $\sim 15\%$ . Оцінені ізомерні відношення при енергіях 15.5; 16.0; 16.5 MeV склали відповідно 0.075; 0.081; 0.09.

Нами також було проведено розрахунки ізомерних відношень у рамках каскадно-випарювальної моделі [10, 11]. В цьому підході допускалося, що при поглинанні гамма-квантів збуджуються стани гігантського дипольного резонансу, які розпада-

ються випромінюючи нейtron. Одержані стани дочірнього ядра ( $J_f, \pi_f$ ) в свою чергу розпадаються каскадом дипольних гамма-квантів. Оскільки основний стан паладію-110 має спін-парність  $J_g^\pi = 0^+$ , то імовірність утворення компаунд-ядра з спін-парністю  $J_c^\pi = 1^-$  бралася за одиницю.

Густини рівнів оцінювалися згідно з формулою Бете-Блоха [12, 13]:

$$\rho(U, J) = \frac{2J+1}{24\sqrt{2}a^{1/4} \cdot U^{5/4}\sigma^3} \exp\left[2\sqrt{aU} - \frac{J+1/2}{2\sigma^2}\right],$$

де  $\sigma$  – параметр обмеження спіну,  $A$  – масове число,  $a$  – параметр густини рівнів,  $U$  – енергія збудження, в якості якої приймається ефективна енергія [14].

Зведена імовірність  $P$  випромінювання компаунд-ядром ( $J_c, \pi_c$ ) нейтрона з моментом  $l$  і енергією  $\varepsilon_n$  і переходу його при цьому в стан ( $J_f, \pi_f$ ) дочірнього ядра розраховується за формулою:

$$P(J_c, \pi_c; J_f, \pi_f) = B \cdot \rho(J_f) \cdot \sum_{S=|J_f-s|}^{J_f+S} \sum_{l=|J_c+S|}^{J_c+S} T_l(\varepsilon_n) \omega_l(\pi_c, \pi_f),$$

де  $B$  – константа,  $s$  – спін вилітаючого нейтрона,  $T_l(\varepsilon_n)$  – коефіцієнт проникності бар'єру [7],  $\omega_l(\pi_c, \pi_f) = [1 + (-1)^l \pi_c \cdot \pi_f]/2$  – коефіцієнт, що враховує парність станів. Повніше процедура розрахунків викладена в роботі [11].

Послідовні розрахунки без вільних параметрів дають завищенні значення ізомерних відношень. Узгодження досягається при фіксації параметру обмеження спіну  $\sigma$  на рівні 2.5–3.

## Література

1. В.М. Мазур, ФЭЧАЯ 31, 385 (2000).
2. А.Б.Белов, Ю.П.Гангрский, А.П. Тончев и др. ЯФ 59, 585 (1996).
3. Hoang Dac Luc, Tran Duc Thiep, Truong Thi An et.al. Bulg. Journ. Phys. 14, 52 (1987).
4. J. Blachot, Nucl.Data Sheets 107, 355 (2006).
5. E. Browne, R.T. Firestone, Tables Rad. Isotopes (Wiley, New York, 1986).
6. R. Vanska, R. Rieppo, Nucl. Instr. and Meth. 179, 525 (1981).

7. Г.И.Марчук, В.Е.Колесов. Применение численных методов для расчета нейтронных сечений (Атомиздат, Москва, 1970).
8. A.V Varlamov, V.V. Varlamov, D.S. Rudenko et al. Atlas of Giant Dipole Resonances (Preprint: IAEA, INDC (NDS)-394, Vienna, 1999).
9. О. В. Богданович, Ф.А. Николаев, Работа с пучком тормозного излучения (Атомиздат, Москва, 1964).
10. Л.Я. Арифов, Б.С. Мазитов, В.Г. Уланов, ЯФ 34, 1028 (1981).
11. З.М. Биган, В.М. Мазур, З.З. Торич, Изомерные отношения в реакциях ( $\gamma$ ,n) на тяжелых ядрах (Препринт: АН УССР Институт ядерных исследований.; КИЯИ-84-10, Киев, 1984).
12. H. Bete, Phys. Rev. 50, 332 (1936).
13. А.В.Малышев, Плотность уровней и структура атомных ядер (Атомиздат, Москва, 1969).
14. В.С. Ставинский, ФЭЧАЯ 3, 832 (1972).

## A SINGLE QUASIPARTICLE STATE $^{11/2}^-$ POPULATION IN $^{109}\text{Pd}$ NUCLEI VIA ( $\gamma$ , n) REACTIONS

**Z.M. Bigan, D.M. Symochko**

Institute of Electron Physics, Ukr. Nat. Acad. Sci.,  
Universytetska Str. 21, Uzhhorod, 88017  
e-mail: nuclear@email.uz.ua

Investigation of isomeric state  $11/2^-$  population energy dependence in  $^{109}\text{Pd}$  nuclei was carried out in 8-18 MeV energy region. Isomeric yield ratios for  $^{110}\text{Pd}(\gamma, n)^{109\text{m,g}}\text{Pd}$  reaction are determined. Experimental cross-section of metastable states excitation for  $^{109}\text{Pd}$  in ( $\gamma$ ,n) was obtained for the first time. The experimental isomeric ratios are compared with those calculated within the framework of cascade-evaporation model.